

九州大学 工学部 正員 山崎徳也

" " " 榎木式

大学院 学生員〇山田喜四夫

1. 緒言

板周辺において板と柱とが直交して剛結する構造物は、土木、建築の各分野でわれわれの多く見うけるところである。著者らは先に一对辺が単純支持され、他対辺が任意の間隔でならぶ柱にて支持される等方性矩形板に、任意垂直荷重が作用する場合の解法を発表したが、本研究はその統轄として矩形板が直交異方性である場合の厳密理論解法を提示せんとするものである。

2. 解法

一般に板と直交して直結する柱には、板から垂直反力、水平反力、曲げモーメントおよびねじりモーメントが伝えられるが、本論文では文献(1)と同様に垂直反力のみが伝えられる場合について述べることとする。

(1) 板の弾性曲面

図-1に示すごとく、矩形板 A B C Dにおいて、Aを原点とし辺ABおよび辺ACに沿ってそれをx軸、y軸とし、紙面に直交してz軸を持った直交座標系(x, y, z)を導入する。板A B C Dは辺AB, CDで単純支持され、また辺ACがr個の中間支点(i=1, 2, 3, ..., r)で、辺BDがs個の中間支点(j=1, 2, 3, ..., s)で点支持されるものとする。周知のごとく直交異方性板の基礎微分方程式は次式であらわされる。

$$\left(\frac{\partial^2}{\partial x^2} + K_1^2 \frac{\partial^2}{\partial y^2}\right) \left(\frac{\partial^2}{\partial y^2} + K_2^2 \frac{\partial^2}{\partial x^2}\right) W = \frac{p(x, y)}{D_x} \quad (1)$$

$$\text{ただし } K_1^2 = \bar{K}^2 + \sqrt{\bar{K}^4 - K^2}, \quad K_2^2 = \bar{K}^2 - \sqrt{\bar{K}^4 - K^2}, \quad K^2 = \frac{D_y}{D_x}, \quad \bar{K}^2 = \frac{1}{2} (\nu_y + K^2) \nu_x + \frac{4C}{D_x}, \quad D_x = \frac{E_x R^3}{12(1-\nu_x\nu_y)}$$

$$D_y = \frac{E_y R^3}{12(1-\nu_x\nu_y)}, \quad C = \frac{G R^3}{12}, \quad E_x, E_y; \nu_x, \nu_y; x, y \text{ 方向の継弾性係数, } \nu_x, \nu_y; x, y \text{ 方向のポアソン比}$$

G;せん断弾性係数, R;板の厚さ, W;板の垂直たわみ(z軸方向を正とする)

$p(x, y)$;板に作用する任意垂直荷重強度, a;辺AB, CDの長さ, b;辺AC, BDの長さ

ところで辺AB, CDの境界条件は次のとおりで

ある。

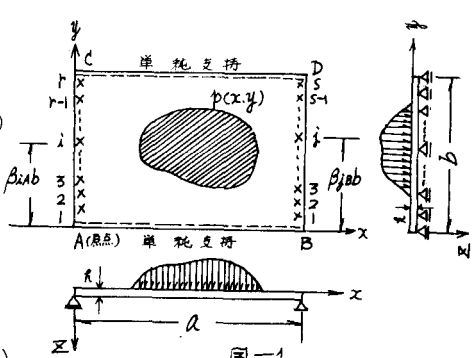
$$y=0 \text{ で } (W)_{y=0} = 0, \quad M_y = -D_y \left(\frac{\partial^2 W}{\partial y^2} + \nu_x \frac{\partial^2 W}{\partial x^2} \right)_{y=0} = 0 \quad (2)$$

$$y=b \text{ で } (W)_{y=b} = 0, \quad M_y = -D_y \left(\frac{\partial^2 W}{\partial y^2} + \nu_x \frac{\partial^2 W}{\partial x^2} \right)_{y=b} = 0$$

板に $p(x, y)$ なる任意垂直荷重が作用し、かつ式(2)の境界条件を満足するような板の弾性曲面Wは次式であらわされる。

$$W = \sum_{n=1}^{\infty} (A_n \sinh K_1 \beta_n x + B_n \cosh K_1 \beta_n x + C_n \sinh K_2 \beta_n x + D_n \cosh K_2 \beta_n x) + \sum_{m=1}^{\infty} T_{mn} \sin m \pi x \sinh \beta_n y \quad (3)$$

$$\text{ただし } \alpha_m = \frac{m \pi}{a}, \quad \beta_n = \frac{n \pi}{b}, \quad T_{mn} = \frac{G_{mn}}{D_x (m^2 + K_1^2 \beta_n^2) (a^2 + K_2^2 \beta_n^2)}, \quad G_{mn} = \frac{4}{ab} \int_a^b \int_0^b p(x, y) \sin m \pi x \sinh \beta_n y dx dy$$



A_n, B_n, C_n, D_n は積分常数

積分常数 $A_n \sim D_n$ は $x=0, a$ における辺 AC, BD の境界条件を満足するように決定すればよく、板から柱に伝えられる反力を正弦フーリエ級数にてあらわせば、次の境界条件式がえられる。

$$\begin{aligned} x=0 & \quad M_x = -Dx \left(\frac{\partial^3 W}{\partial x^2} + V_g \frac{\partial^3 W}{\partial y^2} \right)_{x=0} = 0, \quad V_x = -Dx \left[\frac{\partial^3 W}{\partial x^2} + (V_g + \frac{4C}{Dx}) \frac{\partial^3 W}{\partial x \partial y^2} \right]_{x=0} = \sum_{n=1}^{\infty} V_{An} \sin \beta_n y \\ x=a & \quad M_x = -Dx \left(\frac{\partial^3 W}{\partial x^2} + V_g \frac{\partial^3 W}{\partial y^2} \right)_{x=a} = 0, \quad V_x = -Dx \left[\frac{\partial^3 W}{\partial x^2} + (V_g + \frac{4C}{Dx}) \frac{\partial^3 W}{\partial x \partial y^2} \right]_{x=a} = \sum_{n=1}^{\infty} V_{Bn} \sin \beta_n y \end{aligned} \quad (4)$$

ここで V_{An}, V_{Bn} ; 任意常数

他方、辺 AC の各中間支点の座標値をそれぞれ $(0, \beta_1 a, b), (0, \beta_2 a, b), \dots, (0, \beta_m a, b), \dots, (0, \beta_n a, b)$ として各中間支点に生ずる垂直反力を $R_1^A, R_2^A, \dots, R_i^A, \dots, R_r^A$ とすると、これらを $0 \leq y \leq b$ なる領域にて正弦フーリエ級数に展開すれば次式のごとくなる。

$$R_i^A = \sum_{n=1}^{\infty} R_{in}^A \sin \beta_n y, \quad R_2^A = \sum_{n=1}^{\infty} R_{2n}^A \sin \beta_n y, \dots, \quad R_i^A = \sum_{n=1}^{\infty} R_{in}^A \sin \beta_n y, \dots, \quad R_r^A = \sum_{n=1}^{\infty} R_{rn}^A \sin \beta_n y \quad (5)$$

$$\begin{aligned} R_{in}^A &= \lim_{\Delta \rightarrow 0} \frac{2}{b} \int_{\beta_i a - \Delta}^{\beta_i a + \Delta} \frac{R_i^A}{2\Delta} \sin \beta_n y dy = \frac{2}{b} R_i^A \sin n\pi \beta_i a, \quad R_{2n}^A = \lim_{\Delta \rightarrow 0} \frac{2}{b} \int_{\beta_2 a - \Delta}^{\beta_2 a + \Delta} \frac{R_2^A}{2\Delta} \sin \beta_n y dy = \frac{2}{b} R_2^A \sin n\pi \beta_2 a, \\ \dots, R_{in}^A &= \lim_{\Delta \rightarrow 0} \frac{2}{b} \int_{\beta_i a - \Delta}^{\beta_i a + \Delta} \frac{R_i^A}{2\Delta} \sin \beta_n y dy = \frac{2}{b} R_i^A \sin n\pi \beta_i a, \dots, R_{rn}^A = \lim_{\Delta \rightarrow 0} \frac{2}{b} \int_{\beta_r a - \Delta}^{\beta_r a + \Delta} \frac{R_r^A}{2\Delta} \sin \beta_n y dy = \frac{2}{b} R_r^A \sin n\pi \beta_r a \end{aligned}$$

ここに R_i^A は、 R_i^A の正弦フーリエ級数展開式を意味し $[FL^{-1}]$ の次元をもつ。

辺 AC の全反力 V_A は、上記各中間支点の垂直反力の総和でえられるから式(4)の任意常数 V_{An} として次式が導かれる。

$$V_{An} = \frac{2}{b} \sum_{i=1}^r R_{in}^A \sin n\pi \beta_i a \quad (6)$$

同様に辺 BD における各中間支点の反力をそれぞれ $R_1^B, R_2^B, \dots, R_{j_1}^B, \dots, R_{j_2}^B$ とすれば、式(4)の任意常数 V_{Bn} は次のとく求められる。

$$V_{Bn} = -\frac{2}{b} \sum_{j=1}^{j_2} R_{jn}^B \sin n\pi \beta_j b \quad (7)$$

次に式(3)と式(4)に代入すれば、次のとく連立方程式をうる。

$$\begin{aligned} (k_1^2 - V_g) B_n + (k_2^2 - V_g) D_n &= 0 \\ K_1 \{ K_1^2 - (V_g + \frac{4C}{Dx}) \} A_n + K_2 \{ K_2^2 - (V_g + \frac{4C}{Dx}) \} C_n &= \frac{1}{\beta_n^3} (\sum_{m=1}^{\infty} R_{mn} - \frac{V_{An}}{Dx}) \\ (k_1^2 - V_g)(A_n \sinh k_1 \delta_n + B_n \cosh k_1 \delta_n) + (K_2^2 - V_g)(C_n \sinh k_2 \delta_n + D_n \cosh k_2 \delta_n) &= 0 \\ K_1 \{ K_1^2 - (V_g + \frac{4C}{Dx}) \} (A_n \cosh k_1 \delta_n + B_n \sinh k_1 \delta_n) + K_2 \{ K_2^2 - (V_g + \frac{4C}{Dx}) \} (C_n \cosh k_2 \delta_n + D_n \sinh k_2 \delta_n) &= \frac{1}{\beta_n^3} (\sum_{m=1}^{\infty} (-1)^m R_{mn} - \frac{V_{Bn}}{Dx}) \end{aligned} \quad (8)$$

$$k_1 \neq 0, \quad \delta_n = \frac{\pi n a}{b} = \beta_n a, \quad R_{mn} = \{ \alpha_m^2 + (V_g + \frac{4C}{Dx}) \beta_n^2 \} \alpha_m T_{mn}$$

式(8)を連立して解けば $A_n \sim D_n$ が次式のとく求まる。

$$\begin{aligned} A_n &= \frac{1}{S_a} \left[\left(\sum_{m=1}^{\infty} R_{mn} - \frac{V_{An}}{Dx} \right) E_a + \left\{ \sum_{m=1}^{\infty} (-1)^m R_{mn} - \frac{V_{Bn}}{Dx} \right\} F_a \right], \quad B_n = \frac{1}{S_a} \left[\left(\sum_{m=1}^{\infty} R_{mn} - \frac{V_{An}}{Dx} \right) G_a + \left\{ \sum_{m=1}^{\infty} (-1)^m R_{mn} - \frac{V_{Bn}}{Dx} \right\} H_a \right] \\ C_n &= \frac{1}{S_a} \left[\left(\sum_{m=1}^{\infty} R_{mn} - \frac{V_{An}}{Dx} \right) I_a + \left\{ \sum_{m=1}^{\infty} (-1)^m R_{mn} - \frac{V_{Bn}}{Dx} \right\} J_a \right], \quad D_n = \frac{1}{S_a} \left[\left(\sum_{m=1}^{\infty} R_{mn} - \frac{V_{An}}{Dx} \right) K_a + \left\{ \sum_{m=1}^{\infty} (-1)^m R_{mn} - \frac{V_{Bn}}{Dx} \right\} L_a \right] \end{aligned} \quad (9)$$

ただし

$$\begin{aligned} S_a &= (A_2 \frac{b^2}{b_2} + \frac{a^2}{a_2} b_2) \sinh k_1 \delta_n \sinh k_2 \delta_n - 2a_1 b_1 \cosh k_1 \delta_n \cosh k_2 \delta_n + 2a_1 b_1 \\ E_a &= \frac{i}{\beta_n^3} \left(\frac{a_1}{a_2} b_2 \sinh k_1 \delta_n \sinh k_2 \delta_n - b_1 \cosh k_1 \delta_n \cosh k_2 \delta_n + b_1 \right), \quad F_a = \frac{i}{\beta_n^3} b_1 (\cosh k_1 \delta_n - \cosh k_2 \delta_n) \\ G_a &= \frac{i}{\beta_n^3} (b_1 \sinh k_1 \delta_n \cosh k_2 \delta_n - \frac{a_1}{a_2} b_2 \sinh k_2 \delta_n \cosh k_1 \delta_n), \quad H_a = \frac{i}{\beta_n^3} (-b_1 \sinh k_1 \delta_n + \frac{a_1}{a_2} b_2 \sinh k_2 \delta_n) \\ I_a &= \frac{i}{\beta_n^3} \left(\frac{b_1^2}{b_2} \sinh k_1 \delta_n \sinh k_2 \delta_n - \frac{a_1}{a_2} b_1 \cosh k_1 \delta_n \cosh k_2 \delta_n + \frac{a_1}{a_2} b_1 \right), \quad J_a = \frac{i}{\beta_n^3} \left(-\frac{a_1}{a_2} b_1 \right) (\cosh k_1 \delta_n - \cosh k_2 \delta_n) \\ K_a &= \frac{i}{\beta_n^3} \left(-\frac{b_1^2}{b_2} \sinh k_1 \delta_n \cosh k_2 \delta_n + \frac{a_1}{a_2} b_1 \sinh k_2 \delta_n \cosh k_1 \delta_n \right), \quad L_a = \frac{i}{\beta_n^3} \left(\frac{b_1^2}{b_2} \sinh k_1 \delta_n - \frac{a_1}{a_2} b_1 \sinh k_2 \delta_n \right) \\ K_1 &= K_1 \{ K_1^2 - (V_g + \frac{4C}{Dx}) \}, \quad A_2 = K_2 \{ K_2^2 - (V_g + \frac{4C}{Dx}) \}, \quad b_1 = K_1^2 - V_g, \quad b_2 = K_2^2 - V_g \end{aligned}$$

式(4)を式(3)に代入すれば図-1に示す弹性曲面Wがえられ、次の内容となる。

$$W = \sum_{n=1}^{\infty} \left[\left(\sum_{m=1}^{\infty} R_{mn} - \frac{V_{An}}{D_x} \right) \bar{\Psi}_n + \left\{ \sum_{m=1}^{\infty} (-1)^m R_{mn} - \frac{V_{Bn}}{D_x} \right\} \bar{\Omega}_n + \sum_{m=1}^{\infty} T_{mn} \sin mx \right] \sin \beta_n y \quad (10)$$

たゞし $\bar{\Psi}_n = \frac{1}{S_a} (E_a \sinh k_1 \beta_n x + G_a \cosh k_1 \beta_n x + I_a \sinh k_2 \beta_n x + K_a \cosh k_2 \beta_n x)$
 $\bar{\Omega}_n = \frac{1}{S_a} (F_a \sinh k_1 \beta_n x + H_a \cosh k_1 \beta_n x + J_a \sinh k_2 \beta_n x + L_a \cosh k_2 \beta_n x)$

(2) 基本連立方程式の誘導

辺AC, BDの各中間支点がそれぞれ $d_{1A}, d_{2A}, \dots, d_{mA}, \dots, d_{rA}$ および $d_{1B}, d_{2B}, \dots, d_{mB}, \dots, d_{sB}$ なる垂直変位(正の向きを正とする)を起すものとする。しかるとき板の弹性曲面Wは各中間支点においてこれら中間支点の垂直変位に等しくなければならぬことより次の二通り変形条件式を立てる。

$$(W)_{x=0} = d_{rA} \quad (k=1, 2, 3, \dots, r), \quad (W)_{x=a} = d_{sB} \quad (l=1, 2, 3, \dots, s) \quad (11)$$

式(11)に式(10)を代入し、かつ V_{An}, V_{Bn} として式(6), (7)を用いて演算のうえ整理すれば、矩形板を支える各中間支点反力を求めるための基本連立方程式が次の二通りえられる。

$$\begin{aligned} & \sum_{j=1}^r \sum_{n=1}^{\infty} \bar{\Psi}_n^0 \sin n\pi \beta_{1A} \sin n\pi \beta_{kA} R_{jA} - \sum_{j=1}^s \sum_{n=1}^{\infty} \bar{\Omega}_n^0 \sin n\pi \beta_{1B} \sin n\pi \beta_{kB} R_{jb} \\ & = \frac{D_x b}{2} \sum_{n=1}^{\infty} \sum_{m=1}^{\infty} \{ \bar{\Psi}_n^0 + (-1)^m \bar{\Omega}_n^0 \} R_{mn} \sin n\pi \beta_{1A} - d_{rA} \quad (k=1, 2, 3, \dots, r) \\ & \sum_{j=1}^r \sum_{n=1}^{\infty} \bar{\Psi}_n^0 \sin n\pi \beta_{1A} \sin n\pi \beta_{2B} R_{jA} - \sum_{j=1}^s \sum_{n=1}^{\infty} \bar{\Omega}_n^0 \sin n\pi \beta_{1B} \sin n\pi \beta_{2B} R_{jb} \\ & = \frac{D_x b}{2} \sum_{n=1}^{\infty} \sum_{m=1}^{\infty} \{ \bar{\Psi}_n^0 + (-1)^m \bar{\Omega}_n^0 \} R_{mn} \sin n\pi \beta_{1B} - d_{sB} \quad (l=1, 2, 3, \dots, s) \end{aligned} \quad | \quad (12)$$

たゞし $\bar{\Psi}_n^0 = (\bar{\Psi}_n)_{x=0} = \frac{1}{S_a} \left(\frac{b_1 - b_2}{\beta_n} \sinh k_1 \beta_n c \cosh k_2 \beta_n + \frac{a_1}{\beta_n} \sinh k_2 \beta_n c \cosh k_1 \beta_n \right)$, $\bar{\Psi}_n^0 = (\bar{\Psi}_n)_{x=a} = -S_a \bar{\Omega}_n^0$
 $\bar{\Omega}_n^0 = (\bar{\Omega}_n)_{x=0} = \frac{1}{S_a} \left(\frac{b_1 - b_2}{\beta_n} \left(\frac{b_1}{b_2} \sinh k_1 \beta_n - \frac{a_1}{a_2} \sinh k_2 \beta_n \right) \right)$, $\bar{\Omega}_n^0 = (\bar{\Omega}_n)_{x=a} = -\bar{\Psi}_n^0$

式(12)は支点反力と同様の連立方程式となるゆえ、これらを連立して解けば未知不静定反力 R_i^A ($i=1, 2, 3, \dots, r$), R_j^B ($j=1, 2, 3, \dots, s$) がすべて明らかとなり、その結果を式(6), (7)に代入しさらに式(10)に代入すれば、板の弹性曲面がえられることとなる。

3. 計算例

図-2に示すごとく辺AB, CDで単純支持され、かつ辺AC, BDの二等分点で点支持される矩形板に荷重強度 p_0 の均布荷重が満載される場合の計算例を示せば次のとおりである。すなわち中間支点の支点変位がないものとすれば、 $d_{1A} = d_{1B} = 0$ となるゆえ式(12)に示す基本連立方程式は次の内容となる。

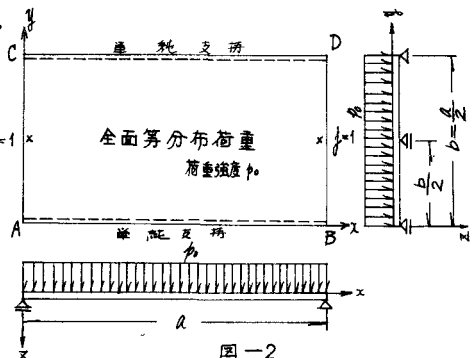


図-2

$$\begin{aligned} & \sum_{n=1}^{\infty} \bar{\Psi}_n^0 \sin \frac{n\pi}{2} \sin \frac{n\pi}{2} R_{1A} - \sum_{n=1}^{\infty} \bar{\Omega}_n^0 \sin \frac{n\pi}{2} \sin \frac{n\pi}{2} R_{1B} = \frac{D_x b}{2} \sum_{n=1}^{\infty} \sum_{m=1}^{\infty} \{ \bar{\Psi}_n^0 + (-1)^m \bar{\Omega}_n^0 \} R_{mn} \sin \frac{n\pi}{2} \\ & \sum_{n=1}^{\infty} \bar{\Psi}_n^0 \sin \frac{n\pi}{2} \sin \frac{n\pi}{2} R_{1A} - \sum_{n=1}^{\infty} \bar{\Omega}_n^0 \sin \frac{n\pi}{2} \sin \frac{n\pi}{2} R_{1B} = \frac{D_x b}{2} \sum_{n=1}^{\infty} \sum_{m=1}^{\infty} \{ \bar{\Psi}_n^0 + (-1)^m \bar{\Omega}_n^0 \} R_{mn} \sin \frac{n\pi}{2} \end{aligned} \quad | \quad (13)$$

板のスパン比を $\frac{b}{a} = 0.5$ とし、また x, y 方向の板剛度 D_x, D_y の比を $\frac{D_y}{D_x} = 1.5$ 、さらに $\beta_1 = 0.15$ とすれば、式(13)の諸係数および諸荷重項が次値のごとく算定される。

$$\begin{aligned} & \sum_{n=1}^{\infty} \bar{\Psi}_n^0 \sin \frac{n\pi}{2} \sin \frac{n\pi}{2} = -\sum_{n=1}^{\infty} \bar{\Omega}_n^0 \sin \frac{n\pi}{2} \sin \frac{n\pi}{2} = 0.26235 \times 10^{-2} a^3 \\ & \sum_{n=1}^{\infty} \bar{\Omega}_n^0 \sin \frac{n\pi}{2} \sin \frac{n\pi}{2} = -\sum_{n=1}^{\infty} \bar{\Psi}_n^0 \sin \frac{n\pi}{2} \sin \frac{n\pi}{2} = -0.32501 \times 10^{-4} a^3 \end{aligned} \quad | \quad (14)$$

$$\frac{Dx b}{2} \sum_{n=1}^{\infty} \sum_{m=1}^{\infty} (\Phi_n^0 + (-1)^m \Omega_n^0) R_{mn} \sin \frac{n\pi}{2}$$

$$= \frac{Dx b}{2} \sum_{n=1}^{\infty} \sum_{m=1}^{\infty} (\Phi_n^0 + (-1)^m \Omega_n^0) R_{mn} \sin \frac{n\pi}{2} = 0.15031 \cdot 10^3 p_0 l$$

式(14)を式(13)に代入し、これらを連立に解けば各中間支点反力 R_{IA}, R_{IB} が求まり次のとくなる。

$$R_{IA} = R_{IB} = 0.56599 \cdot 10^3 p_0 l^2 \quad (15)$$

式(15)を式(6), (7)に代入してえられる結果を式(10)に代入すれば板の弾性曲面が求められることとな

り、 $y = \frac{b}{2}$, $x = \frac{a}{2}$ および $x = 0$ ($\partial x = a$) 断面のたわみ w を計算すれば図-3 に示す結果となり、また $x = 0$ ($\partial x = a$) 断面の y 方向のモーメント M_y を求めれば、図-4 のとくなる。なお図-3 および図-4 には中間支点がない場合、すなはち一対辺が単純支持され、他対辺が自由である矩形板に等分布荷重が満載された場合の板のたわみ w 、および y 方向のモーメント M_y を点線で示し、両者を比較対照した。

4. 結語

本法によれば板を支える各中間支点の不静定反力は、式(12)の多元連立一次方程式を解くのみで簡単に求めることができる、さらに式(12)の係数および荷重項をあらかじめ計算のうえ図表にしておけば、本題の構造物を解くことは連続ばかりやラーメン等の骨組構造物を解くのとなんら変りない労力ですむこととなり極めて実用的である。

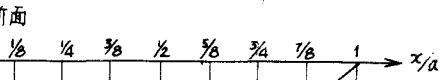
本研究で省略した柱の反力モーメントを考慮した場合の解析、さらに反力および板の諸変位、諸断面力などの影響面解析も可能であり、また本法と同様の手法によって全周辺が点支持される矩形板を解くこともでき、これらについては逐次発表の予定である。

本研究には文部省科学研究費の補助を受けた。記して謝意を表す。

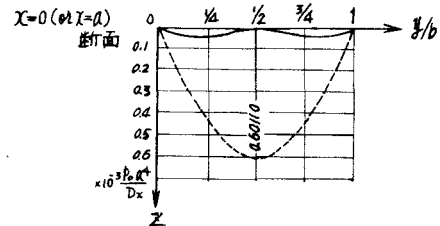
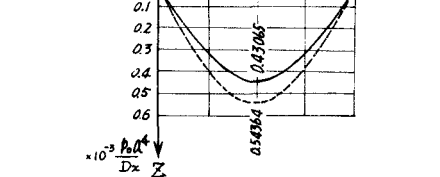
参考文献

- (1) 山崎徳也、橋本武、山田喜四夫；一対辺が点支持され他対辺が単純支持される矩形板の解法

土木学会西部支部研究発表会 昭和42年1月

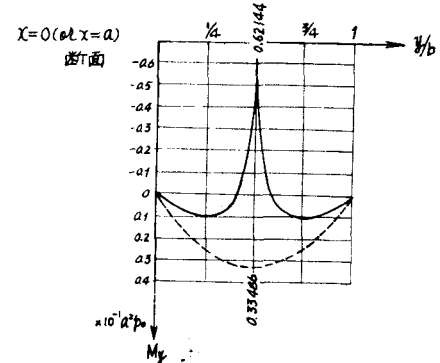


$x=\frac{a}{2}$ 断面



実線；中間支点がある場合
点線；“がない場合”

図-3. たわみ(w)図 ($\frac{b}{a}=0.5$)



実線；中間支点がある場合
点線；“がない場合”

図-4 y 方向のモーメント(M_y)図 ($\frac{b}{a}=0.5$)